

ков, если они были последовательно уплотнены набивками с плоскими торцами. Как хорошо известно экспериментаторам, после взрывного компактирования в этом случае наблюдается распад прессовки на элементы, соответствующие исходным порциям порошка.

Авторы благодарят Международный научный фонд за поддержку данного исследования.

#### ЛИТЕРАТУРА

1. Kusubov A.S., Nesterenko V.F., Wilkins V.L. et al Dynamic deformation of powdered materials as a function of particle size. — Livermore, 1985. — p. 11. — (Preprint / Lawrence Livermore Lab.; UCID — 20349).
2. Нестеренко В.Ф. Особенности микромеханики порошков при сильном импульсном воздействии // Материалы X Всесоюз. конф. "Численные методы решения задач теории упругости и пластичности". — Новосибирск: ИТПМ СО АН СССР, 1988. — С. 212—220.
3. Нестеренко В.Ф. Влияние на процесс взрывного компактирования структурных параметров порошков // Sborník prednášek Vyuzití Energie Vybucu. III. dil. — Pardubice, 1983. — Р. 410—417.
4. Kusubov A.S., Nesterenko V.F., Wilkins M.L. et al. Dynamic deformation of powdered materials as a function of particle size // Proc. Intern. Seminar of High Energy Working of Rapidly Solidified and High Temperature Superconducting Materials. — Novosibirsk, 1989. — Р. 139—156.
5. Костюков Н.А. Двумерные ударно-волновые течения и структуры порошковых компактов вблизи раздела с деформируемой преградой // Моделирование в механике. — Новосибирск, 1990. — Т. 4 (21), № 6. — С. 76—102.
6. Костюков Н.А. Физические причины и механизмы образования пограничных зон при двумерном взрывном компактировании порошковых материалов // ПМТФ. — 1991. — № 6. — С. 154—161.
7. Нестеренко В.Ф. Импульсное нагружение гетерогенных материалов. — Новосибирск: Наука, 1992. — С. 42—50.
8. Киселев С.П., Руев Г.А., Трунев А.П. и др. Ударно-волновые процессы в двухкомпонентных и двухфазных средах. — Новосибирск: Наука, 1992. — С. 233—237.
9. Бондарь М.П., Оголихин В.М. О пластической деформации в зоне соединения при плавлении взрывом // ФГВ. — 1982. — № 2. — С. 147—151.

630090, Новосибирск,  
ИГиЛ СО РАН

Поступила в редакцию 30/IV 1994

УДК 533.95

B.B. Светцов

### ВЗРЫВЫ В НИЖНЕЙ И СРЕДНЕЙ АТМОСФЕРЕ — СФЕРИЧЕСКИ СИММЕТРИЧНАЯ СТАДИЯ

Исследуются закономерности развития сферически-симметричных взрывов с высокой начальной концентрацией энергии в атмосфере на высоте от 0 до 90 км. Процессы начального энерговыделения не рассматриваются, взрыв считается безмассовым — начальные данные задаются в виде равномерно нагретой сферы с постоянной плотностью воздуха. Результаты получены путем радиационно-газодинамических численных расчетов в диапазоне энергий взрывов от  $4,2 \cdot 10^{12}$  до  $4,2 \cdot 10^{16}$  Дж.

#### Введение

Мощные взрывы в атмосфере могут возникать вследствие выделения энергии ядерных зарядов, а также в результате торможения и быстрой дезинтеграции крупных космических тел. Процессы, происходящие при выделении энергии заряда, могут быть различными в зависимости от взрывного устройства. Однако после торможения продуктов взрыва и поглощения рентгеновского излучения в атмосфере распространяется тепло при почти постоянной плотности воздуха [1]. Поэтому начальное энерговыделение ядерного взрыва можно аппроксимировать областью воздуха с постоянной плотностью и достаточно высокой температурой. Точность такой аппрок-

© B.B. Светцов, 1994

симации, однако, может падать, начиная с высот более 50 км, так как пробеги рентгеновского излучения увеличиваются и, следовательно, начальное выделение энергии может стать нелокализованным и неодномерным [2].

Энергии космических тел могут иметь те же порядки величин, что и при ядерных взрывах. Так, энергия взрыва в Тунгусском явлении  $E > 10^{16}$  Дж [3, 4]. Сихоте-Алинское тело, судя по его суммарной массе [5], обладало энергией более  $10^{13}$  Дж, а недавно упавший Стерлитамакский метеорит имел начальную энергию порядка  $10^{12}$  Дж [6, 7]. Столкновения крупные космические тела с Землей достаточно часто. Так, падение тел с  $E \approx 10^{14}$  Дж происходит раз в год, а тела с  $E \approx 4 \cdot 10^{12}$  Дж в среднем ежемесячно входят в атмосферу [8]. Это делает весьма актуальной задачу исследования мощных взрывов в воздухе.

Температуры при ударе или торможении космического тела могут быть очень высокими. В случае падения с предельной скоростью 72 км/с удельная энергия вещества в ударной волне (УВ) будет  $\sim 2,5$  МДж/г. Известно, что взрыв космического тела в Тунгусском явлении на высоте  $\sim 7$  км сопровождался мощными световыми явлениями, вызвавшими пожары и ожоги на местности. Процесс выделения энергии космического тела зависит от его размера, скорости, угла наклона траектории, от вещества и механического состояния тела. Моделирование Тунгусского явления привело авторов [3] к выводу, что метеороид, вероятно, имел плотность  $\rho \sim 0,5$  г/см<sup>3</sup>, радиус  $r = 38$  м и скорость  $v = 35$  км/с, причем помимо перехода кинетической энергии в тепловую на высоте  $H \sim 6,5$  км произошло дополнительное выделение энергии, составляющее 20 % от всей выделившейся энергии. В [4] сделан вывод, что Тунгусское тело могло быть обычного каменного состава с  $r \sim 30$  м и  $v = 15$  км/с, причем Тунгусское явление — обычный результат торможения таких тел в атмосфере.

Выделение кинетической энергии космического тела в атмосфере по существующим теориям может носить взрывной характер в результате катастрофического дробления тела, поперечного движения раздробленной массы и резкого увеличения площади поперечного сечения и тормозящей силы [4, 9—11]. Расчеты [4, 11] показывают, что в этом случае основная доля выделяющейся энергии быстрых каменных и ледяных тел локализована на участке траектории размером в несколько километров. Для каменных тел, входящих в атмосферу с  $v = 30$  км/с и  $r = 50$  м и ледяных тел с  $v = 70$  км/с того же радиуса, выделение энергии в момент катастрофического разрушения составляет  $\sim 10^{14}$  Дж/м. Высота взрыва для ледяного тела радиуса 1 м при  $v = 70$  км/с ( $E = 10^{13}$  Дж) близка к 70 км [11]. С увеличением массы и плотности тела и уменьшением его скорости высота взрыва (или области максимальной диссипации энергии) понижается.

Постепенное выделение энергии космического тела и след в атмосфере приводят к неодномерным процессам в развитии взрыва после передачи энергии воздуху. Однако в качестве некоторой оценочной аппроксимации конечной стадии торможения достаточно быстрого и крупного метеороида в атмосфере можно, так же как и в случае ядерного взрыва, использовать начальные данные локализованного безмассового взрыва с высокой температурой. Так сферически симметричные взрывы рассматривались в [12, 13] для оценки излучаемой энергии при взрыве Тунгусского болида.

В настоящей работе рассматривается серия расчетов взрывов с  $E = 4,2 \cdot 10^{12} \div 4,2 \cdot 10^{16}$  Дж при  $H = 0 \div 90$  км, задавая начальные данные в виде равномерно нагретой сферы воздуха с температурой внутри в 30 эВ. Основная цель расчетов состояла в исследовании и уточнении закономерностей развития взрывов в зависимости от высоты и энергии. Отметим, что взрывы на низких высотах достаточно хорошо изучены [1, 2, 14—16]. Исследования же взрывов в средней атмосфере не нашли достаточного отражения в литературе. Данные расчеты проводились на основе уравнений газовой динамики и переноса излучения в приближении локального термодинамического равновесия. Верхний предел выбранных высот в 90 км объясняется с одной стороны тем, что крупные космические тела не испытывают выше существенного торможения. С другой стороны, для взрывов на

больших высотах проявляются не только неодномерные эффекты, но и необходим учет таких физических факторов, как неравновесность состояния вещества и магнитное поле.

### Методика расчета

Газодинамические уравнения рассчитывались по полностью консервативной разностной схеме в лагранжевых координатах [17] с искусственной вязкостью [18]. Для расчета переноса излучения применялся метод осреднения по углам и частотам [19]. При этом использовались таблицы уравнения состояния [20] и достаточно подробные таблицы коэффициентов поглощения воздуха [21–23]. Коэффициенты поглощения холодного воздуха определялись по данным [24, 25]. Однако с использованием всего объема таблиц коэффициентов поглощения, содержащих 655 спектральных интервалов, рассчитаны лишь отдельные контрольные варианты взрывов: с  $E = 4,2 \cdot 10^{15}$  Дж на уровне моря и с  $E = 4,2 \cdot 10^{13}$  Дж при  $H = 20 \div 70$  км.

Так как общий объем проводимых вычислений достаточно велик, то методика расчета по сравнению с [19] была упрощена. Осредненные угловые коэффициенты полагались константами, а для учета частотной зависимости интенсивности излучения применялось многогрупповое приближение. При этом угловые коэффициенты осреднения, границы групп и способ осреднения в группах подбирались таким образом, чтобы обеспечивалось наименьшее отличие получаемых параметров от контрольного варианта взрыва на уровне моря. В результате по энергиям квантов выбрано 23 группы со следующими границами, эВ: 0,17, 0,26, 0,39, 0,48, 1,04, 1,28, 1,53, 2,12, 3,12, 4,35, 5,22, 5,75, 6,03, 6,21, 6,31, 6,49, 8,69, 9,93, 11,2, 11,8, 26,0, 80,6 и 248. Наибольшее количество групп выбрано внутри области пропускания излучения холодным воздухом — до 6,5 эВ, причем группы струются к этой границе. Коэффициенты поглощения в группах осреднялись по Планку, в исходных таблицах предварительно «срезали» линии, если их величина на одном спектральном интервале таблиц (который составлял 0,03 эВ) в несколько раз превышала фоновое значение коэффициента поглощения. Крылья широких линий при такой процедуре сохранялись.

Сравнение с контрольными вариантами показало, что при  $H \leq 30$  км температуры, давления и характерные размеры совпадали с достаточно высокой точностью. Наибольшие различия (до 1–2 %) получились в величине излучаемой энергии для  $H = 30$  км. Однако погрешность вычислений увеличивается с высотой в связи с ростом роли спектрального состава излучения. Поэтому наибольшие отличия в излучаемой энергии проявились для взрывов на высотах 60 и 70 км (~ 5 %), причем использование небольшого числа групп давало для больших высот отклонения как в сторону увеличения высвета ( $H = 60$  км), так и его уменьшения ( $H = 70$  км). Поскольку размеры при гидродинамическом подобии пропорциональны  $E^{1/3}$ , то характерные радиусы взрывов совпадали в конечной стадии с гораздо большей точностью — около 1 %. В стадии развития тепловых волн, имеющих на больших высотах достаточно сложную структуру (см. ниже), максимальные различия в радиусах фронтов тепловых волн составили ~ 5 %.

Использование 655 групп не означает, что в этом случае достигается большая точность расчета. Дело в том, что в используемых таблицах коэффициентов поглощения задавались средние значения коэффициентов на спектральных интервалах шириной ~ 0,03 эВ. Между тем, ширина линий в спектре излучения на больших высотах гораздо меньше. Усреднение коэффициента поглощения в линиях по спектральному интервалу может давать ощутимые погрешности, в то же время полный поток излучения в узких линиях может быть мал. Поэтому использование небольшого числа групп, но со срезанными линиями, дает в отдельных случаях даже большую точность. Таким образом, проведение расчетов с большим числом групп и наличием линий позволило лишь определить погрешность вычислений, ко-

торая оказалась сравнительно невелика. Для достижения же еще большей точности необходимо учитывать контуры отдельных линий и возможность проявления неравновесных эффектов при переносе излучения в линиях.

Развитие взрыва в атмосфере, даже если он в начале сферически-симметричен, приобретает со временем двумерный характер. Во-первых, для небольших высот из-за архимедовой силы, которая через несколько секунд приводит к всплытию нагретого объема с образованием вихревого движения. На больших высотах также через несколько секунд нагретый объем начинает двигаться вверх баллистически, образуя струю, истекающую в верхние слои атмосферы [1, 2]. Во-вторых, для больших  $E$  и  $H$  размер нагретой области сравнивается с характеристической высотой атмосферы, которая при  $H \leq 90$  км равна 6—8 км. Однако в последнем случае одномерный расчет не прекращался, так как его результаты могут служить оценкой средних характеристик в двумерном течении. Таким образом, время расчета составляло 3—10 с.

### Взрывы на низких высотах

Взрывы в [2] условно разделены на низковысотные (до 30 км) и на больших высотах. Характерные черты низковысотных взрывов — образование УВ из тепловой на ранней стадии развития взрыва при высоких температурах, наличие двух импульсов излучения и минимума яркости между импульсами [1]. Между 30 и 40 км, согласно [2], минимум яркости исчезает, так что тепловое излучение взрыва на больших высотах испускается в одном импульсе, причем максимум излучения достигается за очень короткий промежуток времени в процессе выделения энергии, а затем мощность излучения постепенно убывает.

Результаты расчетов в основном согласуются с проводившимися ранее исследованиями низковысотных взрывов. Однако удалось уточнить некоторые важные характеристики. В начальной стадии перенос тепла близок к режиму лучистой теплопроводности и осуществляется при почти постоянной плотности воздуха. Поэтому ступенчатое распределение температуры, заданное в начальных данных, быстро преобразуется в автомодельный профиль тепловой волны [1]. По мере падения температуры скорость тепловой волны замедляется и на ее фронте образуется УВ. Оценку радиуса ее образования можно получить, приравнивая скорость распространения автомодельной тепловой волны [1] к скорости УВ в решении задачи о точечном взрыве [14]. Результаты расчетов взрывов на высотах 20 и 30 км неплохо согласуются с оценочной формулой [26]

$$r_* = 35 (E/4,2 \cdot 10^{15})^{4/13} \delta^{-7/13}. \quad (1)$$

Здесь  $r_*$  — радиус образования ударной волны;  $E$  — энергия взрыва, Дж;  $\delta$  — относительная плотность воздуха на высоте взрыва. При  $H < 20$  км УВ при точечном энерговыделении образуется при температурах более высоких, чем были выбраны в начальных данных для расчета. Но применение формулы (1) для приземных взрывов с очень высокой концентрацией энергии не вызывает сомнений. Расчеты показали, что начиная с  $H = 40$  км формула непригодна, что объясняется ростом пробегов излучения и нарушением режима лучистой теплопроводности.

Через некоторое время после образования УВ ее фронт подчиняется закону движения, соответствующему фундаментальному решению задачи о сильном взрыве [14]:

$$r_s^5 = \frac{E}{\alpha \rho_H} t^2, \quad (2)$$

где  $t$  — время;  $\rho_H$  — плотность на высоте взрыва;  $\alpha$  — безразмерный коэффициент, зависящий от показателя адиабаты. Распределение давления также устанавливается близким к автомодельному, но несколько позже, так как после возникновения волны разрежения и отражения ее от центра

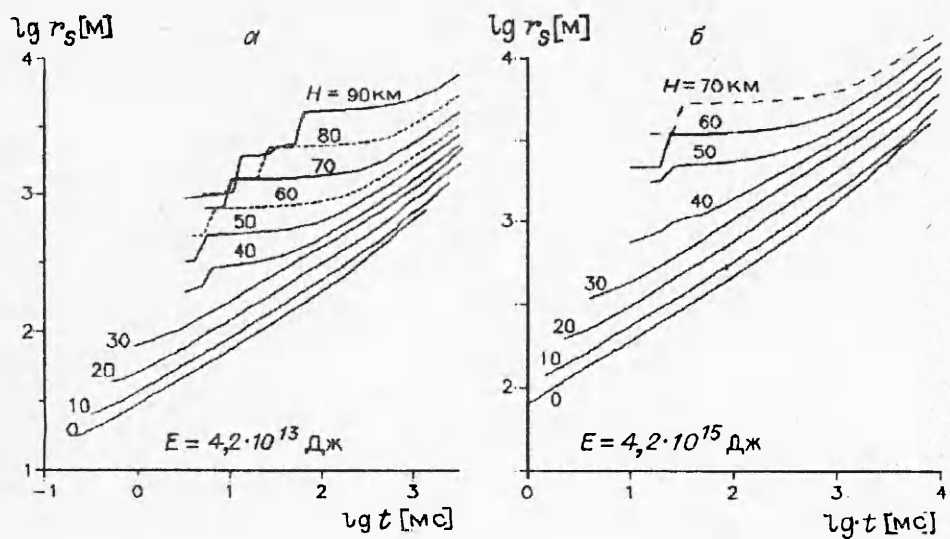


Рис. 1

симметрии образуется и приходит в центр волна сжатия. Затем по высоко-нагретой области еще некоторое время распространяются волны с небольшими амплитудами [27], которые в конечном итоге подавляются излучением.

Расчетные траектории УВ приведены на рис. 1. Видно, что вплоть до  $H = 40$  км существует протяженная стадия, где наклон траектории УВ соответствует степенному закону (2). Излучение для взрывов на одной высоте не слишком сильно нарушает гидродинамическое подобие по таким величинам, как положение и параметры УВ и давление в области, захваченной движением (после затухания волн сжатия и разрежения). Разница в излучаемой энергии для взрывов на одной высоте не очень велика. При изменении же  $H$  нарушение подобия гораздо существеннее. Поэтому оказывается, что коэффициент  $\alpha$  слабо изменяется с энергией взрыва и растет с увеличением  $H$ .

Схема сквозного счета и выбранная разностная сетка позволяли определять положение УВ с погрешностью  $\sim 1,5\%$ . Однако погрешность в численном определении  $\alpha$  составляет  $7\%$ , значения  $\alpha$  поэтому получены с некоторым разбросом:  $1,45-1,5$ ,  $1,5-1,6$ ,  $1,65-1,75$ ,  $1,8-1,9$  и  $2,9-3,5$  при  $H = 0, 10, 20, 30$  и  $40$  км соответственно. Увеличение  $\alpha$  с ростом высоты объясняется понижением температур  $T$  в горячей области, при которых осуществляется автомодельный режим. Это понижение  $T$  приводит к изменению эффективного показателя адиабаты от 1,25 до 1,15 для  $H = 0$  и 30 км.

Для взрывов химических зарядов получена интерполяционная формула, определяющая величину скачка давления  $\Delta p$  за фронтом УВ [28]:

$$\frac{\Delta p}{p_H} = \frac{0,83}{r_s} \left( \frac{q}{p_H} \right)^{1/3} + \frac{2,7}{r_s^2} \left( \frac{q}{p_H} \right)^{2/3} + \frac{7,0}{r_s^3} \left( \frac{q}{p_H} \right), \quad (3)$$

где  $q$  — масса тротилового заряда, кг;  $r_s$  — радиус ударной волны, м;  $p_H$  — атмосферное давление, атм. Формула предназначена для расчета избыточного давления в диапазоне  $10 \div 0,1$ . Взрыв с высокой концентрацией начальной энергии менее эффективен с точки зрения механического действия, поэтому в [28] предлагалось для ядерного взрыва вместо  $q$  вводить величину, выражющую энергию взрыва в единицах массы тротилового заряда с некоторым коэффициентом  $k = 0,5$ :

$$q = kE/(4,2 \cdot 10^6).$$

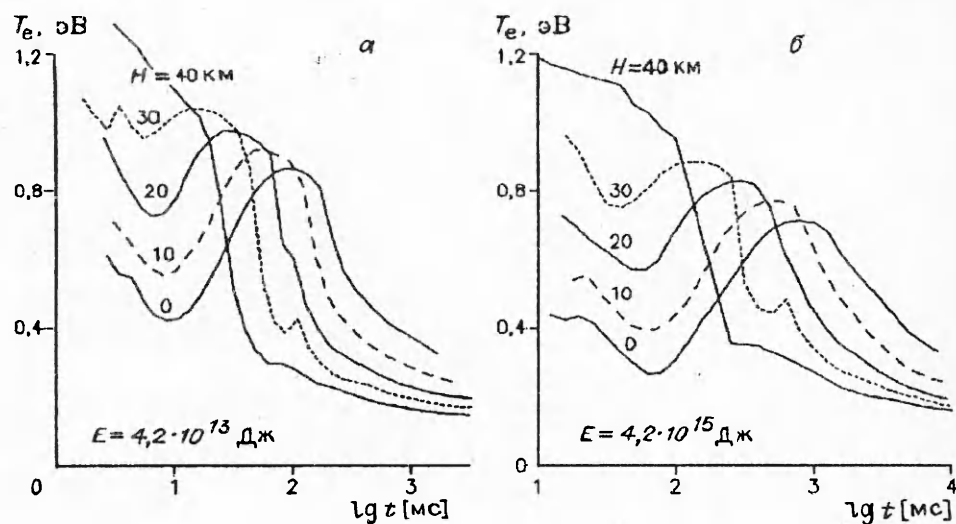


Рис. 2

В численных расчетах проверена пригодность формулы (3) для приземных взрывов с высокой концентрацией энергии. Поскольку избыточное давление довольно мало, для контроля точности проводились дополнительные расчеты без искусственной вязкости с выделением УВ и использованием соотношений Гюгонио на ее фронте. Оказалось, что зависимость (3) достаточно точна, однако коэффициент  $k$  изменяется от 0,42 до 0,48. При  $\Delta p > 1,8 p_H$   $k = 0,42 \div 0,425$ ,  $k \approx 0,48$  достигается при  $\Delta p < 0,35 p_H$ .

По мере распространения УВ и соответствующего уменьшения ее амплитуды, начиная с некоторого момента времени, все более глубокие слои нагретого воздуха за ее фронтом становятся прозрачными. Это приводит к известному эффекту минимума яркости огненного шара [1, 29]. Этот эффект исследовался в численных расчетах и было определено, как он исчезает с ростом высоты. На рис. 2 показано изменение яркостной температуры  $T_e$  по времени  $t$ , и причем  $T_e$  соответствует спектральному интервалу с энергией квантов от 1,53 до 2,12 эВ.

При  $H = 40$  км эффект минимума яркости полностью отсутствует, а величина  $T_e$  монотонно падает (начиная от нескольких электронвольт в начале расчета). При  $H = 30$  км эффект зависит от энергии взрыва — с понижением  $E$  до  $4,2 \cdot 10^{12}$  Дж минимум вырождается, так что при  $t = 1,5 \div 10$  мс величина  $T_e$  остается почти постоянной.

На рис. 2 для  $H = 30$  км видно дополнительное колебание температуры при ее падении уже после наступления максимума яркости. Это колебание вызвано схождением волн сжатия к центру и соответствующим подъемом температуры в центре симметрии.

Следует отметить, что кривые на рис. 2 обрваны слева до наступления минимума, а область первого максимума яркости не показана. Дело в том, что до некоторого момента времени яркостная температура в расчете испытывает частые колебания (подобно расчетам [16]), так как выходящее излучение определяется очень узкой зоной в окрестности УВ, которая во много раз меньше характерных размеров задачи (этот зона может составлять сотые доли сантиметра [1]). Разрешить эту зону в сквозном расчете не представляется возможным. Получить яркостные характеристики при этом можно, обращаясь к самостоятельной задаче о структуре излучающей УВ (см. [1, 30—32]), поскольку энергия, излучаемая в первом импульсе, очень мала, и влияние переноса излучения на скорость УВ взрыва незначительно.

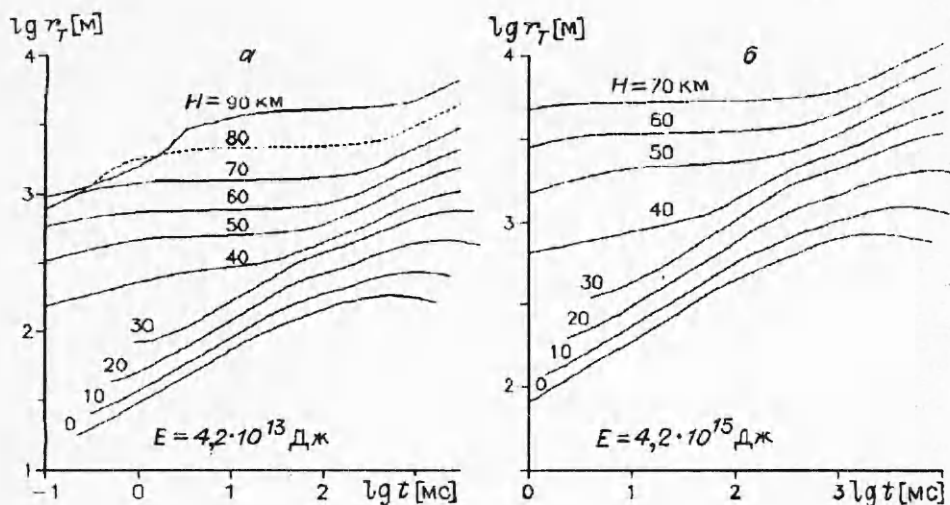


Рис. 3

Для времен наступления минимума и последующего максимума яркости в [15] приведены следующие эмпирические формулы:

$$t_{\min} = 60(E/4,2 \cdot 10^{15})^{0,40}\delta^0, \quad (4)$$

$$t_{\max} = 900(E/4,2 \cdot 10^{15})^{0,42}\delta^{-0,42}, \quad (5)$$

где время выражено в миллисекундах. Результаты расчетов согласуются с этими формулами, но лучшая аппроксимация достигается при других показателях степени: 0,48 при  $E$  в формуле (5) и 0,1 при  $\delta$  в (4). Время минимума яркости зависит, хотя и довольно слабо, от  $H$ .

Граница светящейся области сначала совпадает с УВ. При  $t > t_{\min}$  светящуюся область приближенно можно отождествить со сферой, внутри которой температура выше некоторой характерной величины. На рис. 3 приведены радиусы точки с температурой 0,2 эВ —  $r_T(t)$ . Поскольку температурный профиль вблизи точки  $T = 0,2$  эВ довольно резкий, то значения  $r_T$  должны достаточно хорошо совпадать с радиусом светящейся области.

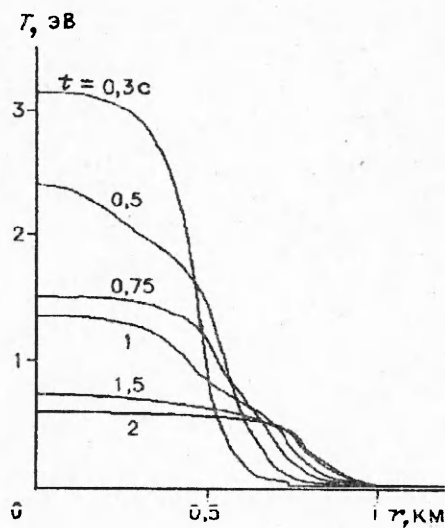
В последующие моменты времени  $r_T$  достигает максимума, когда давление внутри светящейся области сравнивается с атмосферным. После этого уменьшается  $r_T$  за счет возвратного движения. Максимальные температуры при этом составляют 0,35 и 0,45 эВ для  $H = 0$  и 30 км, и дальнейшее остывание происходит очень медленно. Размер области максимального расширения нагретого объема (максимум  $r_T$ ) может быть аппроксимирован простой формулой:

$$r_{\max} = c(E/p_H)^{1/3},$$

где  $p_H$  — давление на высоте взрыва,  $c$  — безразмерный коэффициент, зависящий от величины энергии, остающейся в нагретом объеме. Величина  $c$  изменяется достаточно слабо: от 0,25 до 0,23 при  $H = 0$  и 30 км.

Распределение температур внутри светящейся области имеет достаточно плавный характер. В [1] процесс охлаждения нагретого объема представлялся в виде температурного уступа — волны охлаждения, в которой излучает и охлаждается слой воздуха с температурой  $\sim 1$  эВ, причем предполагалось, что температурный уступ распространяется внутрь нагретого шара с большими температурами в центре ( $\sim 10$  эВ). Расчеты не подтвердили существования волны охлаждения в столь явно выраженным виде, как описывалось в [1].

Рис. 4



На рис. 4 показаны распределения температуры  $T$  по радиусу  $r$  для взрыва на уровне моря с  $E = 4,2 \cdot 10^{15}$  Дж. В интервале  $t = 0,3 \div 1$  с продолжается разлет и адиабатическое охлаждение, давление в центре падает от 5 бар до атмосферного. При этом также интенсивно перераспределяется энергия излучением. Вплоть до  $t = 0,5$  с, когда температура в центре  $\sim 2,5$  эВ, а  $p = 2,5$  бар, радиус точки с  $T = 1$  эВ продолжает увеличиваться как за счет разлета, так и поглощения жесткой части излучения. Лишь в интервале максимальных температур от 2 до 1 эВ образуется

волна охлаждения, однако ширина ее фронта сравнима с размером светящейся области (момент  $t = 1$  с на рис. 4), а температура в центре при ее продвижении внутрь продолжает падать. Очень размытый профиль волны охлаждения в центре при  $T \approx 2$  эВ получен также в расчетах [16].

В отсутствии выраженной волны охлаждения заключается единственное качественное отличие, полученное в расчетах, по сравнению с картиной развития низковысотного взрыва, описанной в [1]. С одной стороны, в процессе охлаждения излучением сказывается его спектральный состав, а с другой — перераспределение энергии излучением в стадии газодинамического расширения идет более интенсивно, чем предполагалось в [1].

#### Взрывы в средней атмосфере

С ростом высоты взрыва увеличиваются и пробеги излучения. Поэтому, начиная с  $H = 40$  км излучение уже в стадии тепловой волны нельзя описать приближением лучистой теплопроводности. Это затрудняет количественный анализ задачи. Так как давления падают пропорционально плотности воздуха, а потоки излучения растут вплоть до  $H = 60 \div 70$  км, когда

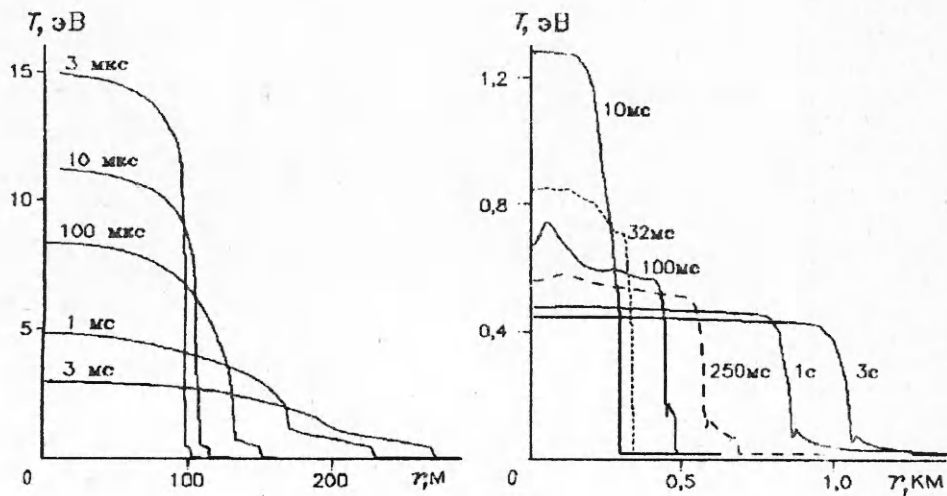


Рис. 5

Рис. 6

наступает прозрачность нагретого объема, то гидродинамическое движение начинается при гораздо более низких температурах. Фундаментальные исследования и решения, полученные для низковысотных взрывов, оказываются неприменимыми для взрывов в средней атмосфере. В связи с этим возрастают роль численных расчетов.

На рис. 5, 6 приведены распределения температуры и относительной плотности для взрыва с  $E = 4,2 \cdot 10^{13}$  Дж и  $H = 40$  км.

Газ остается почти неподвижным до  $t \approx 3$  мс, когда температура в центре падает до 2,5 эВ. Перед основной тепловой волной возникает прогревная зона с  $T = 0,5 \div 1,0$  эВ и резким фронтом. Эта область обусловлена поглощением квантов с энергиями 6,5—10 эВ, пробеги которых при  $T > 0,5$  эВ достаточно велики в связи с диссоциацией молекул воздуха. Возникновение таких прогревных областей характерно для задач, связанных с переносом излучения в воздухе пониженной плотности. Они получались в расчетах лазерного взрыва с  $E = 1 \div 10$  Дж [33] и при исследовании структуры сверхкритических ударных волн в [32], где названы волнами диссоциации.

При падении температуры ниже 2 эВ скорость распространения фронтов тепловых волн резко замедляется и остывание происходит по всему нагретому объему. Лишь когда  $T \approx 1$  эВ, а потери энергии на излучение составляют более 50 %, возникает сильная УВ, и адиабатическое охлаждение становится заметным. Сжатие за фронтом УВ начинает падать за счет противо-

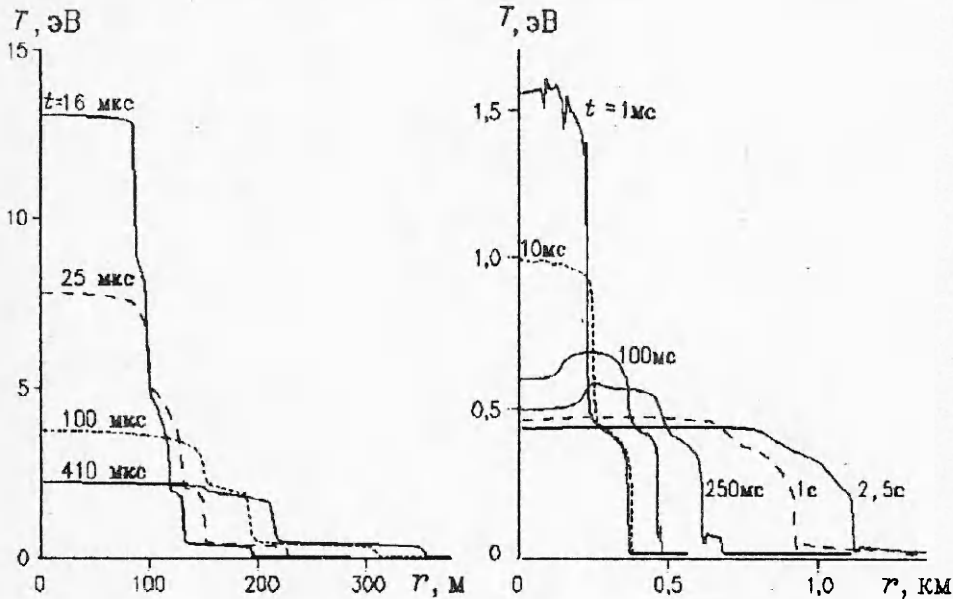
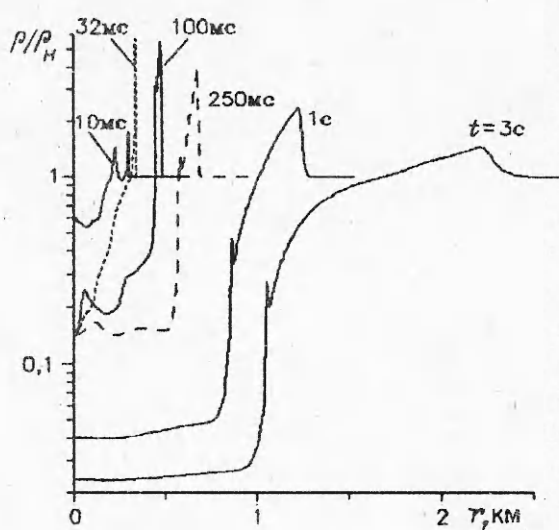


Рис. 7

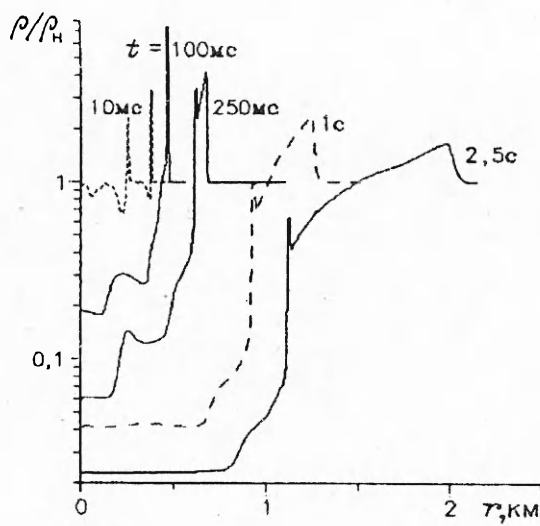


Рис. 8

давления довольно быстро после того, как успевает установиться профиль давления, соответствующий автомодельному решению задачи о сильном взрыве [14]. Поэтому закон движения близок к степенному (2) лишь на сравнительно коротком интервале времени от 100 до 500 мс. На рис. 6 виден небольшой пик в плотности вблизи контактной границы. Это дефект численного расчета, вызванный введением искусственной вязкости.

С ростом высоты взрыва

могут возникать еще более сложные структуры тепловых волн, связанные с различием в коэффициентах поглощения в различных участках спектра. Это проиллюстрировано на рис. 7, где показаны распределения температур для взрыва с  $E = 4,2 \cdot 10^{12}$  Дж и  $H = 60$  км. В моменты  $t \leq 400$  мкс можно выделить несколько температурных уступов. Заметим, что колебания температуры при  $t = 1$  мс в горячей области вызваны неустойчивостью остывания при объемном характере переноса излучения. Дело в том, что при столь низких плотностях воздуха пробеги квантов с  $E > 10$  эВ падают более чем на 2 порядка при понижении температуры от 2 до 1 эВ [21]. Это вызывает более быстрое охлаждение участков плазмы с пониженной температурой.

Движение газа может возникнуть первоначально на каждом из фронтов тепловых волн. Так, на рис. 8, где приведены распределения относительной плотности для того же взрыва, при  $t = 10$  мс видны две волны сжатия. Затем к моменту 100 мс волны трансформируются в одну. На рис. 1, где приведены траектории УВ, по этой причине зависимости  $r_*(t)$  для больших  $H$  имеют ступенчатый вид — при образовании двух и более УВ на график нанесен радиус той волны, которая имеет большую амплитуду. По кривым  $r_*(t)$  видно, что для  $H > 40$  км можно выделить лишь весьма кратковременный интервал, когда наклон траектории близок к степенному закону для сильного взрыва (2).

В табл. 1 приведены значения температуры в центре взрыва  $T_*$ , при которой образуется УВ для различных значений  $H$  и  $E$ . За момент образования УВ принимался тот момент времени, когда плотность за фронтом волны в 2 раза превышала атмосферную плотность  $\rho_H$ . Для наибольших из рассматриваемых энергий взрывов УВ образуется на высоте 40 км еще при довольно высоких температурах, так как пробеги квантов достаточно малы.

Для  $H \geq 50$  км  $T_* \approx 1$  эВ. При  $H = 90$  и 80 км для наименьшей энергии взрыва пробеги излучения столь велики, что роль переноса излучения падает, а гидродинамическое движение начинается сразу на границе нагретого сферического объема.

Из табл. 2, где приведены радиусы образования ударной волны  $r_*$ , видно, что для больших энергий взрыва, начиная

Таблица 1

$E$ , Дж	$T_*$ , эВ при $H$ , км					
	30	40	50	60	70	80
$4,2 \cdot 10^{12}$	8,5	1,2	1,1	1,1	0,90	27
$4,2 \cdot 10^{13}$	9,0	1,2	1,0	0,96	0,94	0,85
$4,2 \cdot 10^{14}$	10	1,2	1,0	0,89	0,90	0,84
$4,2 \cdot 10^{15}$	11	3,4	1,0	0,82	0,81	0,78
$4,2 \cdot 10^{16}$	12	6,0	1,3	0,70	—	—

с 60 км, величина  $r_*$  превышает характеристическую высоту атмосферы, и в этих случаях необходимо решать двумерную задачу. На высоте 80 км для  $E = 4,2 \cdot 10^{15}$  Дж, согласно нашим одномерным оценочным расчетам,  $r_* \approx \approx 10$  км, а при  $H = 90$  км  $r_* = 18$  км. Таким образом, в вертикальном направлении «прорыв» атмосферы произойдет еще в стадии тепловой волны. В конечном итоге это приведет к образованию ионизированной области в верхней атмосфере с размером в сотни километров [34].

Таблица 2

$E$ , Дж	$r_*$ , м при $H$ , км					
	30	40	50	60	70	80
$4,2 \cdot 10^{12}$	40	150	240	240	625	220
$4,2 \cdot 10^{13}$	80	300	510	785	1300	2240
$4,2 \cdot 10^{14}$	165	610	1100	1630	2600	4660
$4,2 \cdot 10^{15}$	345	860	2250	3500	5400	9600
$4,2 \cdot 10^{16}$	700	1600	4500	7500	—	—

### Излучаемая энергия

Один из наиболее интересных параметров взрыва — энергия, уносимая за счет излучения. Именно эту величину наиболее легко регистрировать со спутников при взрывах космических тел в атмосфере. Так, 1 октября 1990 г. зафиксирована мощная вспышка света, предположительно, в результате катастрофического торможения космического тела с энергией порядка  $10^{13} - 10^{14}$  Дж на высоте 30 км [35, 36]. Кинетическую энергию космического тела можно оценить по измеренной мощности излучения, зная лишь, какое количество выделившейся энергии переходит в свет.

На рис. 9 приведены временные зависимости доли энергии  $f$ , которая излучается при взрывах с  $E = 4,2 \cdot 10^{13}$  (а) и  $4,2 \cdot 10^{15}$  Дж (б) на высотах от 0 до 90 км. Для  $H \leq 30$  км конечная величина доли излученной энергии  $f = 0,31 \pm 0,47$  в зависимости от высоты и энергии взрыва. Эти результаты согласуются с данными, приведенными в [2], с точностью несколько процентов. При возрастании  $H$  до 40 км  $f = 0,6 \pm 0,7$ . Для взрывов в средней атмосфере основная доля энергии излучается за значительно более короткие времена в стадии тепловой волны до начала газодинамического движения. Высвет изменяется мало и составляет 0,6 — 0,72 вплоть до  $H = 70$  км. Однако при ядерных взрывах значительная часть выделяющейся энергии сосредоточена первоначально в рентгеновском излучении, которое на больших высотах распространяется на далекие расстояния, вызывая нагрев

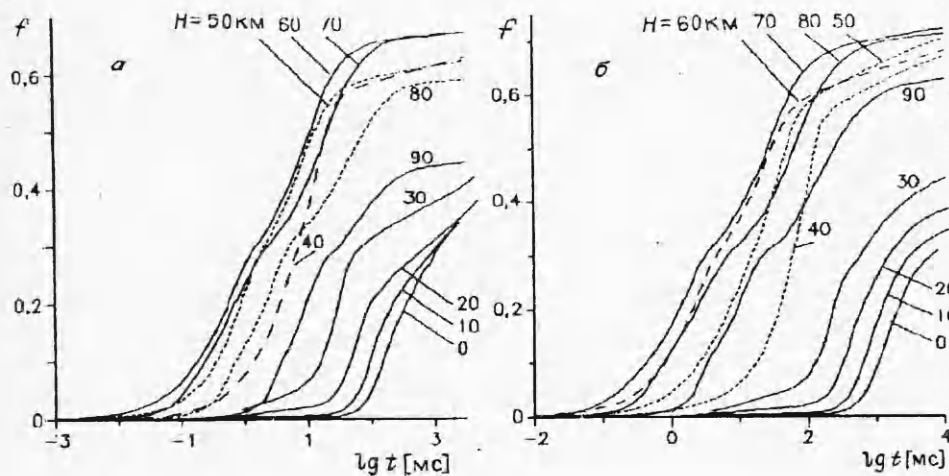


Рис. 9

Т а б л и ц а 3

$E$ , Дж	$f$ , при $H$ , км									
	0	10	20	30	40	50	60	70	80	90
$4,2 \cdot 10^{12}$	0,36	0,36	0,36	0,45	0,59	0,63	0,65	0,61	0,50	0,38
$4,2 \cdot 10^{13}$	0,33	0,35	0,36	0,44	0,63	0,62	0,67	0,67	0,59	0,45
$4,2 \cdot 10^{14}$	0,32	0,33	0,36	0,47	0,66	0,64	0,67	0,70	0,66	0,53
$4,2 \cdot 10^{15}$	0,31	0,35	0,40	0,47	0,67	0,70	0,68	0,72	0,71	0,63
$4,2 \cdot 10^{16}$	0,31	0,35	0,40	0,48	0,61	0,76	0,70	0,72	0,74	—

атмосферы до небольших температур. Поэтому, как указывается в [2], доля исходной энергии ядерного взрыва, уносимая тепловым излучением, падает до 0,25 при  $H > 60$  км. В данной постановке задачи для сосредоточенного взрыва  $f$  падает лишь на высотах 80—90 км за счет наступления прозрачности нагреветого объема воздуха.

Поскольку для излучения нет подобия, конечная величина  $f$  для всех рассчитанных вариантов взрывов приведена дополнительно в табл. 3. Для  $E \leq 4,2 \cdot 10^{14}$  Дж величина доли энергии дана в момент времени  $t = 3$  с, для больших  $E$  — при  $t = 10$  с. Для низковысотных взрывов, как видно из рис. 9, в эти моменты еще происходят заметные потери на излучение, поэтому еще некоторая небольшая часть энергии излучается затем в стадии подъема нагретой области. Следует отметить, что испаренное вещество метеороида (а для ядерного взрыва продукты взрыва) оказывает определенное влияние на излучение, поэтому в реальной ситуации величины  $f$  могут отличаться от расчетных. В рассчитанных конечных значениях  $f$  в зависимости от высоты имеются некоторые немонотонности, составляющие всего несколько процентов. Их можно объяснить взаимодействием ряда факторов: вкладами адиабатического охлаждения и изменением соотношений пробегов излучения в разных участках спектра для различных  $H$ .

До сих пор рассматривался взрыв с высокой концентрацией энергии. Однако скорости входа космических тел в атмосферу могут быть не настолько велики, чтобы при катастрофическом торможении газ за ударной волной имел высокие температуры (порядка 10 эВ). В связи с этим для  $H = 30$  км были рассчитаны взрывы с  $E = 4,2 \cdot 10^{12}$  и  $4,2 \cdot 10^{13}$  Дж, но с меньшей начальной удельной энергией  $e$  внутри равномерно нагретой сферы (от 200 до 12,5 кДж/г). Таким удельным энергиям соответствуют скорости  $v = (2e)^{1/2}$  от 20 до 5 км/с. Доля энергии взрыва, уносимая излучением, для этих вариантов при  $t = 3$  с приведена в табл. 4. Для  $e = 200$  кДж/г величина  $f$  оказалась даже выше, чем в случае взрыва с высокой концентрацией энергии. Это вызвано тем обстоятельством, что излучение при низких  $e$  начинает раньше выходить из нагреветого объема, до начала существенного адиабатического охлаждения. Таким образом, при характерных скоростях торможения  $\geq 10$  км/с выходит после выделения энергии метеорного тела весьма значителен и при  $H \approx 30$  км может составлять 0,4—0,5. Однако конкретный анализ данных [35, 36] должен проводиться с учетом процессов выделения энергии при торможении и дезинтеграции метеороида.

Автор благодарит В.П. Буздина, Н.В. Козина и И.В. Немчинова за интерес к работе и полезные обсуждения и Л.М. Белецкую за помощь в проведении численных расчетов.

Т а б л и ц а 4

$e$ , кДж г	$v$ , км с	$f$ при $E$ , Дж	
		$4,2 \cdot 10^{12}$	$4,2 \cdot 10^{13}$
200	20	0,50	0,58
50	10	0,38	0,42
28	7,5	0,24	0,28
12,5	5	0,06	0,09

## ЛИТЕРАТУРА

1. Зельдович Я.Б., Райзера Ю.П. Физика ударных волн и высокотемпературных гидродинамических явлений. — М.: Наука, 1966.
2. Glassstone S., Dolan P.J. The effects of nuclear weapons. — Washington, DC: US gov. printing office, 1977.
3. Коробейников В.П., Чушкин П.И., Шуршалов Л.В. Комплексное моделирование полета и взрыва в атмосфере метеорного тела // Астрон. вестн. — 1991. — Т. 25, № 3.
4. Chyba C.F., Thomas P.J., Zahnle K.J. The 1908 Tunguska explosion: atmospheric disruption of a stony asteroid // Nature. — 1993. — V. 361, N 6407.
5. Кринов Е.Л., Цветков В.И. Сихоте-Алинский метеоритный дождь как классическое метеоритное падение // Метеоритика. — 1979. — Вып. 38.
6. Петаев М.И. Метеорит Стерлитамак — новое кратерообразующее падение // Астрон. вестн. — 1992. — Т. 26, № 4.
7. Кручиненко В.Г. Определение физических характеристик метеоритообразующего тела Стерлитамак // Астрон. вестн. — 1992. — Т. 26, № 4.
8. Morrison D. The impact hazard // Proc. of the Near-Earth-Object Interception Workshop. — Los Alamos, 1993.
9. Григорян С.С. О движении и разрушении метеоритов в атмосферах планет // Космич. исслед. — 1979. — Т. 17, № 6.
10. Passey Q.R., Melosh H.J. Effects of atmospheric breakup on crater field formation // Icarus. — 1980. — V. 42, N 2.
11. Hills J.G., Goda M.P. The fragmentation of small asteroids in the atmosphere // Astronomical Journal. — 1993. — V. 105, N 3.
12. Путятин Б.В. О воздействии на Землю излучения при полете крупных метеоритных тел в атмосфере // ДАН СССР. — 1980. — Т. 252, № 2.
13. Korobeinikov V.P., Chushkin P.I., Shurshailov L.V. Interaction between large cosmic bodies and atmosphere // Acta Astronautica. — 1982. — V. 9, N 10.
14. Седов Л.И. Методы подобия и размерности в механике. — М.: Наука, 1987.
15. Brode H.L. Review of nuclear weapons effects // Ann. Rev. Nucl. Sci. — 1968. — V. 18.
16. Zinn J. A finite difference scheme for time-dependent aspherical radiation hydrodynamics problems // J. Comput. Phys. — 1973. — V. 13, N 4.
17. Самарский А.А., Попов Ю.П. Разностные методы решения задач газовой динамики. — М.: Наука, 1980.
18. Von Neumann J., Richtmyer R.D. A method for the numerical calculations of hydrodynamical shocks // J. Appl. Phys. — 1950. — V. 21, N 3.
19. Светцов В.В. Расчет сферически-симметричной задачи о взрыве методом осреднения уравнения переноса // Динамика излучающего газа. — М.: ВЦ АН СССР, 1980. — Вып. 3.
20. Кузнецов Н.М. Термодинамические функции и ударные адиабаты воздуха при высоких температурах. — М.: Машиностроение, 1965.
21. Авилова И.В., Биберман Л.М., Воробьев В.С. и др. Оптические свойства горячего воздуха. — М.: Наука, 1970.
22. Кобзев Г.А., Нужный В.А. Спектральные и интегральные характеристики непрерывного спектра воздушной плазмы при высоких температурах. — М., 1984. — (Препр. / ИВТАН СССР; № 1—131).
23. Кобзев Г.А., Нужный В.А. Оптические свойства воздушной плазмы с учетом спектральных линий.  $T = 20\ 000\text{--}300\ 000\text{ K}$ . — М., 1984. — (Препр. / ИВТАН СССР; № 1—134).
24. Churchill D.R., Armstrong B.H., Johnston R.R., Muller K.G. Absorption coefficients of heated air: a tabulation to  $24\ 000^{\circ}\text{K}$  // JQSRT. — 1966. — V. 6, N 4.
25. Lee P. Photodissociation and photoionization of oxygen ( $O_2$ ) as inferred from measured absorption coefficients // J. Opt. Soc. Am. — 1955. — V. 45, N 9.
26. Губкин К.Е. Распространение взрывных волн // Механика в СССР за 50 лет. — М.: Наука, 1970. — Т. 2.
27. Brode H.L. The blast wave in air resulting from a high temperature, high pressure sphere of air. — Santa Monica, California, 1956. — (RAND corporation; RM — 1825 — AEC).
28. Губкин К.Е. О подобии взрывов // Изв. АН СССР. Физ. Земли. — 1978. — № 10.
29. Райзера Ю.П. Свечение воздуха при сильном взрыве и эффект минимума яркости огненного шара // ЖЭТФ. — 1958. — Т. 34, № 2.
30. Выскребенцев А.И., Нужный В.А., Райзера Ю.П. Непротиворечивый метод расчета переноса излучения и вопрос о структуре ударной волны // ПМТФ. — 1983. — № 6.
31. Zinn J., Anderson R.C. Structure and luminosity of strong shock waves in air // Phys. Fluids. — 1973. — V. 16, N 10.
32. Немчинов И.В., Светцов В.В., Шувалов В.В. Структура и яркость нестационарных сверхкритических ударных волн в воздухе пониженной плотности // ПМТФ. — 1989. — № 1.
33. Немчинов И.В., Светцов В.В. Расчет развития лазерного взрыва в воздухе с учетом излучения // ПМТФ. — 1977. — № 4.

34. Steiger W.R., Matsushita S. Photographs of the high-altitude nuclear explosion 'Teak' // J. Geophys. Res. — 1960. — V. 65, N 2.
35. Reynolds D.A. Fireball observation via satellite // Proc. of the Near-Earth-Object Interception Workshop. — Los Alamos, 1993.
36. Jacobs C., Spalding R. Fireball observation by satellitebased Earth-monitoring otical sensors // Int. Conf. on Hazards due to Comets and Asteroids, Tucson, Arizona, 1993.

117979, г. Москва, ИДГ РАН

Поступила в редакцию 27/IX 1993

УДК 629.198.6, 629.198.62, 629.198.624, 629.19

A.B. Федоров, В.М. Фомин

## МАТЕМАТИЧЕСКОЕ МОДЕЛИРОВАНИЕ ПОВЕДЕНИЯ ПОПУЛЯЦИИ ИСКУССТВЕННЫХ ОБЪЕКТОВ В ОКОЛОЗЕМНОМ ПРОСТРАНСТВЕ

Безопасность функционирования космических аппаратов (КА) определяется двумя группами факторов: обусловленные внутренними процессами и связанные с внешними воздействиями. Интерес к последним существовал уже на ранних этапах развития космонавтики (например, исследования по противометеоритной защите). Изучалась возможность столкновений КА с мелкими частицами естественного происхождения, механизмы этих взаимодействий, последствия гиперзвуковых соударений. Наблюдениями [1, 2] установлено, что на данном этапе космической деятельности количество мелких частиц естественного происхождения много меньше, чем искусственного. Поэтому ниже рассматриваются проблемы эволюции популяции КА в околоземном пространстве.

Остановимся кратко на составе такой популяции. К составляющим данную совокупность объектам относятся:

- искусственные спутники Земли (ИСЗ),
- верхние ступени ракет-носителей,
- фрагменты этих аппаратов, полученные вследствие катастрофических и запланированных взрывов, столкновений,
- мелкие частицы несгоревшего топлива,
- частицы теплозащитных покрытий, красок и т.д.

Из приведенного перечня следует, что размеры искусственных космических объектов в ближнем космосе изменяются в широких пределах: от долей микрометров до десятков метров.

К настоящему времени считается установленным, что на орбитах имеется около 7000 индивидуализированных объектов размером более 0,1 м, от 30 до 70 тысяч — более 0,0001 м, которые являются обломками крупных, подвергнутых действию взрывов и столкновений [1—3]. Вследствие увеличения размера популяции (количества объектов ее составляющих), достигаемого за счет роста числа запусков, изменяется обстановка в пространстве. В частности, уменьшается расстояние между объектами, увеличивается частота столкновений.

В результате возможно катастрофическое нарастание размера популяции, образование искусственного кольца обломков высокой числовой плотности, движущихся вокруг Земли и препятствующих безопасности космических полетов.

В этой связи встает задача предсказания времени задержки образования волны дробления объектов популяции космического мусора, т.е. времени, в течение которого катастрофически нарастает размерность популяции, на основе выявления микро- и макромеханизмов явления.

Вторая задача — определение понятия и выяснение основных особенностей распространения волны катастрофического разрушения составляющих популяции. Движением этой волны назовем процесс самоподдерживающего-

© А.В. Федоров, В.М. Фомин, 1994.